



**YATAY KATMANDAN OLUŞAN HOMOJEN YAPILI TOPRAKLarda FARKLI ZAMAN
DİLİMLERİNDE UYGULANAN MALÇLAMA İŞLEMİNİN
TOPRAK SICAKLIĞINA ETKİSİ**

Arif ÖZBEK¹, Tunçay YILMAZ², Alper YILMAZ³, Orhan BÜYÜKALACA⁴,
Hüsamettin BULUT⁵

^{1,2,3,4}Çukurova Üniversitesi, Makine Mühendisliği Bölümü, 01330, Bucağı, ADANA

⁵Harran Üniversitesi Makine Mühendisliği Bölümü, SANLIURFA

¹arifzbek@cu.edu.tr, ²tunyil@cu.edu.tr, ³alpyil@cu.edu.tr, ⁴orhanl@cu.edu.tr, ⁵hbulut@harran.edu.tr

Özet: Toprak Kaynaklı İst. Pompaları (TKIP), toprak sıcaklığının atmosfer sıcaklığına göre daha kararlı olması ve soğuk iklimlerde performansının daha yüksek olması nedeniyle enerjiyi daha etkin kullanırlar. TKIP sistemlerinde ısıtma sezonda topraktan ısı enerjisi çekildiğinden toprak sıcaklığının yüksek, soğutma sezonda ise toprağa ısı enerjisi atıldırdan toprak sıcaklığının düşük olması istenir. Bu tür sistemlerin tasarılarında ve binaların toprak içinde kalan kasımlarından gerçekleşen ısı transferinin hesaplanmasında toprak yüzeyi ve yüzey altı sıcaklıklarının bilinmesi gerekmektedir. Toprak yüzeyi ve yüzey altı sıcaklıklarının toprak yüzey ortusundan değişiminiyle kontrol edilebiliği de bulunmaktadır. Zirai uygulamalarda ise toprak yüzeyinin ince bir tabakaya kapılan ark toprak sıcaklığının kontrol edilmesine malzeme adı verilmektedir. Bu çalışma adı Devlet Meteoroloji İşleri Genel Müdürlüğü'nden Adana İl merkezi için alınan gündeş ışınımı, hava sıcaklığı, bağıl nem ve rüzgar hızı bilgilerinin 20 yıllık günlük ortalama değerleri kullanılarak toprak yüzey sıcaklıkları (TYS) ve toprak sıcaklıklar (TS) numerik olarak hesaplanmıştır. Homojen yapılı, farklı fiziksel özellikleri sahip yatay katmandan oluşan tek bir toprak tipi ele alınsarak farklı zaman dilimlerinde uygulanan malzeme işlemi sonucunda ısıtma ve soğutma sezoları için toprak sıcaklıklarının derinlikle değişimi ve toprak yüzey sıcaklıklarının günlük değişimleri incelenmiştir.

Anahtar Kelimeler: Malzeme; Yatay katmanlı toprak; Toprak sıcaklığı

**INFLUENCE OF MULCHING PROCESS
APPLIED IN DIFFERENT TIME ZONES ON THE GROUND TEMPERATURE
DIST RIBUTION AT HORIZONTAL LAYER HOMOGENOUS SOILS**

Abstract: Ground source heat pumps (GSHP) use energy more effectively due to the fact that soil temperature is more stable compared to ambient temperature and its efficiency is higher in cold climates. It is required that the soil temperature should be high because heat energy extracted from the soil in heating season and the soil temperature should be low because heat energy rejected to the soil in cooling season. Soil surface and soil temperatures at different depths must be known for the design of such systems and for the calculation of heat losses from the parts of buildings that are buried in the ground. It is known that, soil surface and soil temperatures at different depths can be controlled by changing of soil surface cover. On the other hand, the soil temperature can be controlled by being covered with a thin layer of soil surface in agricultural applications, that is called mulching. In this study, soil surface and soil temperatures were calculated numerically by using 20 years daily mean values of ambient temperature, solar radiation, relative humidity and wind velocity which are measured by The State Meteorological Affairs General Directorate (DMI) for Adana. Temperature distribution at horizontal layered homogenous soils and daily variation of ground surface temperature were investigated for heating and cooling seasons as a result of mulching process applied in different time zones.

Keywords: Mulching; Horizontal layer soil; Soil temperature

SEMBO LLER

a Isı yayım katsayı $[m^{-2}s]$
 a_s Toprak yüzeyi yumru katsayı

L Toplam toprak derinliği [m]
 L_1 Üst katman kalınlığı [m]

f Buharlaşma katsayısi
 k_1 Üst katman ısı iletim katsayısi [W/mK]
 k_2 Alt katman ısı iletim katsayısi [W/mK]

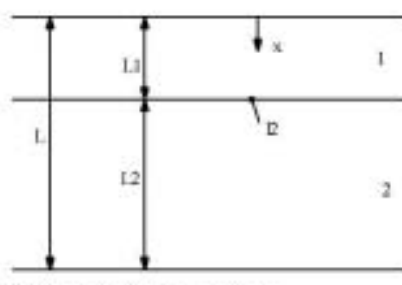
GİRİŞ

TKİP sistemlerinin uygulamalarında ve bazı zirai uygulamalarda toprak sıcaklıklarının ve toprak yüzey sıcaklıklarının bilinmesi gerekmektedir. Bu sebeple birçok araştırmacı analitik, nümerik ve deneyel metodlar kullanarak toprak sıcaklıklarının belirlenmesi ile ilgili birçok çalışma yapmışlardır. Mihalakakou (1997), Mihalakakou ve ark. (2002) ve ElDin (1999) toprak sıcaklıklarının belirlenmesi ile ilgili analitik çalışmalar yapmışlardır. Toprak suyu kliklazının belirlenmesi ile ilgili bir çok araştırmacı nümerik modeller de geliştirmiştir (Piechowski, 1999; Suzuki ve ark., 1996; Rees ve ark., 2007). Bu çalışmada toprak yüzey sıcaklıklarının (TYS) ve toprak sıcaklıklarının (TS) derinlikle değişimlerini gösteren nümerik bir model geliştirilmiştir. Geliştirilen nümerik model ile farklı fizikal özelliklerdeki alt-tost katmanlar kullanılarak TYS ve TS'ler hesaplanmıştır. Bu çalışmadan elde edilen sonuçların ise TKİP uygulamaları için yararlı olması beklenmektedir.

MATEMATİK MODEL

Tek katmanlı toprak için yapılan matematik model ve analitik metod Yılmaz ve ark. (2008)'de; geliştirilen nümerik model ise Özbeğ ve ark. (2008)'de açıklanmıştır. Daha detaylı bilgi 1. ve 2. Gelişme Raporu (2008)'de verilmiştir.

Şekil 1'de toprağın homojen, farklı fizikal özellikteki iki yatay katmandan oluştuğu varsayılmıştır.



Şekil 1. İki yatay katmanlı toprak

İki ayrı katmandan oluşan homojen yapı topraklarda ısı transferinde 1. ve 2. katman için aşağıda verilen tek boyutlu zamana bağlı diferansiyel denklem geçerlidir:

$$\frac{\partial T}{\partial t} = a \frac{\partial^2 T}{\partial x^2} \quad (1)$$

L Alt katman kalınlığı [m]
 T Sıcaklık [°C]
 x Toprak derinliği [m]

Eş.(1)'deki a , alt ve üst katmanların ısı yayım katsayılarıdır.

$x=L_1$ ve $x=L$ 'deki sınır şartları aşağıdaki gibi verilebilir:

$$x=L_1 : \quad k_1 \left(\frac{dT}{dx} \right)_1 = k_2 \left(\frac{dT}{dx} \right)_2 \quad (2)$$

$$x=L : \quad \frac{dT}{dx} = 0 \quad (3)$$

Eş.(2)'deki k_1 ve k_2 ise sırasıyla alt ve üst katmanların ısı iletim katsayılarıdır.

Eş.(3)'ün geçerli olabilmesi için L 'nin çok büyük bir değer olması gerekmektedir.

Toprak Fizikal Özellikleri

Toprak içinde geçerli olan Eş. (1)'deki diferansiyel denklem ve Eş. (2)'deki sınır şartında ısı iletim katsayısi k ve ısı yayımı katsayıısı a bulunmaktadır. Tablo 1'de genel olarak Türkiye'de en sık karşılaşılan toprak tiplerinin ısı özellikleri belirlenmiştir (1. Gelişme Raporu, 2008).

Tablo 1. Bazı toprak tiplerinin ısı özellikleri

Toprak Tipi	$a(\text{mm}^{-2}\text{s})$	$k(\text{W}/\text{m}^{-2}\text{C})$
Cöküllü Toprak	0.139	0.52
Nemli-Hafif Toprak	0.555	0.87
Kuru-Ağır Toprak	0.521	0.95
Nemli-Ağır Toprak	0.648	1.30

NÜMERİK HESAPLAR

Çift katmanlı toprak için geliştirilen nümerik modelde de tek katmanlı modelde olduğu gibi sonlu farklı metod uygulanmıştır. Yapılan nümerik hesaplamalar ile Adana merkezi için DML'den alınan hava sıcaklığı, güneş ışınımı, bulut nem ve rüzgar hızı rasat bilgilerinin 20 yıllık günlük ortalama değerleri kullanılarak TYS ve TS'ler bulunmuştur.

Geliştirilen nümerik modelden elde edilen sonuçların doğruluğunu kontrol edebilmek için analitik hesaplarda yapılan tüm varsayımlar kullanılarak geliştirilen nümerik yöntem uygulanmıştır. Yapılan basitleştirmeler ile nümerik hesaplarda da analitik hesaplamalardaki parametreler kullanılmış; birbirlerine çok yakın sonuçlar

de edilmiş ve böylece nümerik yön temin doğruluğu gösterilmiştir (1. ve 2. Gelişme Raporu, 2008).

SONUÇLAR

Bu çalışmada tek bir toprak türü için farklı zaman malzelerindeki malzeme işleminin toprak sıcaklığına etkisi incelenmiştir. Hesaplamalar sırasında toprak nemiliğini gösteren buharlaşma katsayısi f ve toprak yüzeyi yutma katsayısi a_s değiştirilmiştir. 5 mm kalınlığında çakılı toprak olarak kabul edilen üst katmanın ısı iletişim katsayısi k ve ıslak yayınım katsayısı a sırasıyla 0.52 W/mK ve $0.139 \text{ mm}^2/\text{s}$ olarak kabul edilmiş; alt katmanın kalınlığı da 10 m nemli-ağır toprak ($k=1.3 \text{ W/mK}$, $a=0.648 \text{ mm}^{-2}/\text{s}$) olarak alınmıştır. Malzeme işlemi belirli bir zaman aralığında yapılmaktadır. Bu çalışma için malzeme zamanları 01 Ocak ile 01 Mayıs arasında, yine 1. günden başlayarak 6'şar yıllık dönemler haliyle 5 farklı malzeme dönemi alınması uygun görülmüştür. Malzeme işlemi için toprak yüzeyi ince açık renkli ve su buharı geçirgen ince straför köpük ($a_s=0.2$, $f=0.45$) türün bir malzeme ile kaplanmıştır; kalan zamanda ise toprak yüzeyindeki köpük kaldırılmış yerine ince muşamba ($a_s=0.9$, $f=0.0$) gibi koyu renkli su buharı geçirmeyen bir malzeme ile kaplandığı düşünülmüştür.

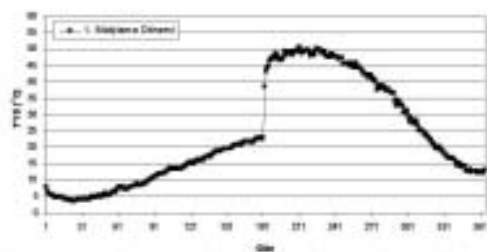
Eğer toprak yüzeyi suni olarak siyah muşamba gibi ince su buharı geçirmez bir katman ile kaplanırsa, toprak yüzeyinden atmosfere su buharlaşmasından dolayı ısı transferi olmayacağı ve Γ 'nın değeri 0.0 olacaktır. Muşambanın siyah renginden dolayı da $a_s=0.9$ gibi yüksek bir değer alacaktır. $a_s=0.9$ olmasına yüzeye gelen güneş ışıklarının toprak yüzeyine serilen ince katman tarafından emilerek toprak sıcaklığı daha da yükselir. Bu da alt katman toprak fizikal özelliklerinden bağımsız olarak toprak yüzeyi ve toprak sıcaklıklarının daha yüksek olması anlamına gelmektedir.

Tablo 2'de uygulanan 5 farklı malzeme dönemi için, malzeme işleminin başlama ve bitiş tarihleri ile toprak yüzeyinde kullanılan kaplamaların fizikal özelliklerini verilmiştir.

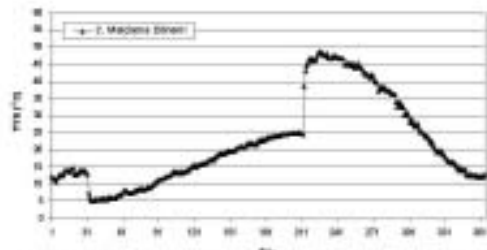
Tablo 2. Malzeme döneminin başlama ve bitiş tarihleri

1. Malzeme Dönemi	01 Ocak - 30 Haziran arasında $a_s=0.2$, $f=0.45$	Yılın kalan zamanında $a_s=0.9$, $f=0.0$
2. Malzeme Dönemi	01 Şubat - 31 Temmuz arasında $a_s=0.2$, $f=0.45$	
3. Malzeme Dönemi	01 Mart - 31 Ağustos arasında $a_s=0.2$, $f=0.45$	
4. Malzeme Dönemi	01 Nisan - 30 Eylül arasında $a_s=0.2$, $f=0.45$	
5. Malzeme Dönemi	01 Mayıs - 31 Ekim arasında $a_s=0.2$, $f=0.45$	

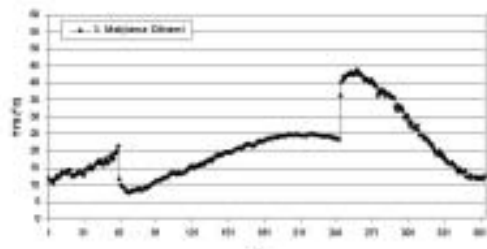
Şekil 2-6 arasında farklı zaman dilimlerinde uygulanan malzeme işlemi sonucunda toprak yüzey sıcaklığının günlük değişimini gösterilmiştir.



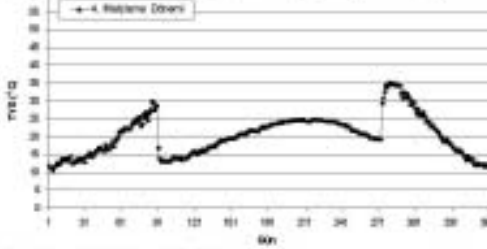
Şekil 2. 01 Ocak - 30 Haziran arasında uygulanan malzeme işlemi sonucunda toprak yüzey sıcaklığının günlük değişimini gösteren grafik



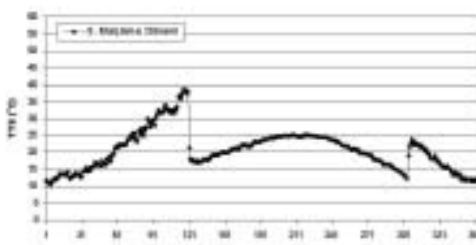
Şekil 3. 01 Şubat - 31 Temmuz arasında uygulanan malzeme işlemi sonucunda toprak yüzey sıcaklığının günlük değişimini gösteren grafik



Şekil 4. 01 Mart - 31 Ağustos arasında uygulanan malzeme işlemi sonucunda toprak yüzey sıcaklığının günlük değişimini gösteren grafik



Şekil 5. 01 Nisan - 30 Eylül arasında uygulanan malzeme işlemi sonucunda toprak yüzey sıcaklığının günlük değişimini gösteren grafik



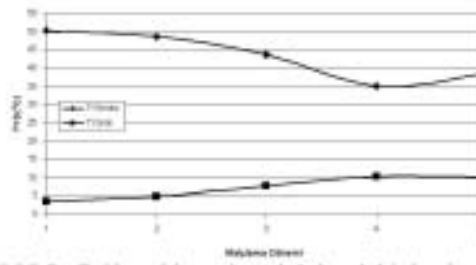
Şekil 6. 01 Mayıs-31 Ekim arasında uygulanan malzeme işlemi sonucunda toprak yüzey sıcaklığının günlük değişimi

Tablo 3'te Şekil 2-6'da farklı malzeme dönemlerinde oluşan toprak yüzey sıcaklıklarının maksimum ve minimum değerleri verilmiştir.

Tablo 3. Farklı toprak yüzey sıcaklıklarının maksimum ve minimum değerleri

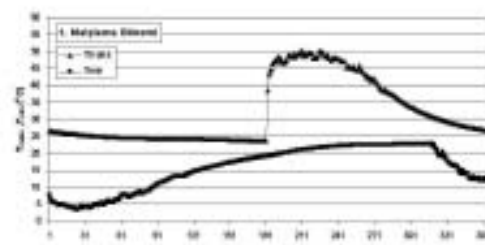
Malzeme Dönemi	1	2	3	4	5
TYS _{max} (°C)	50.42	48.57	43.81	35.15	38.60
TYS _{min} (°C)	3.50	4.88	7.83	10.34	10.19

Şekil 7'de farklı malzeme dönemlerinde yıl içinde oluşan maksimum ve minimum toprak yüzey sıcaklıklarının değişimi gösterilmiştir. Malzeme başlangıçt 01 Ocaktan 01 Mayıs'a gittikçe oluşan maksimum ve minimum TYS'ler arasındaki fark giderek azalmaktadır.

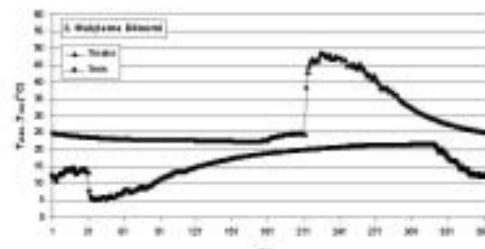


Şekil 7. Farklı malzeme dönemlerinde yıl içinde oluşan maksimum ve minimum toprak yüzey sıcaklıklarının değişimi

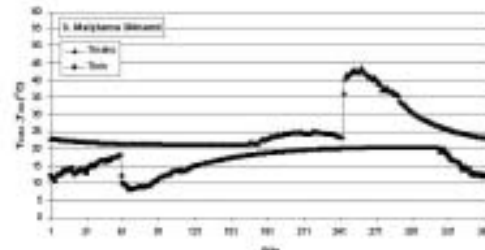
Şekil 8-12'de ise farklı zaman dövizlerinde uygulanan malzeme işlemi sonucunda toprak yüzeyi ile 10 m derinlikteki dip noktası arasında yıl içinde oluşan maksimum ve minimum toprak sıcaklıklarının günlük değişimi gösterilmiştir.



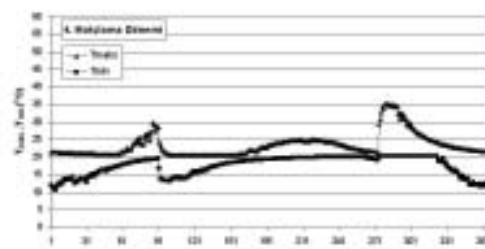
Şekil 8. 01 Ocak-30 Haziran arasında uygulanan malzeme işlemi sonucunda toprakta oluşan maksimum ve minimum sıcaklıkların günlük değişimi



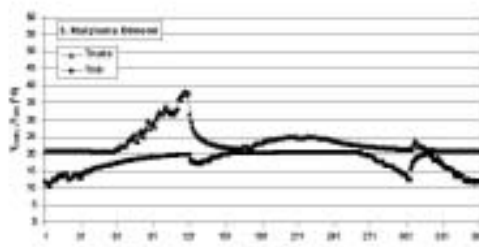
Şekil 9. 01 Şubat-31 Temmuz arasında uygulanan malzeme işlemi sonucunda toprakta oluşan maksimum ve minimum sıcaklıkların günlük değişimi



Şekil 10. 01 Mart-31 Ağustos arasında uygulanan malzeme işlemi sonucunda toprakta oluşan maksimum ve minimum sıcaklıkların günlük değişimi



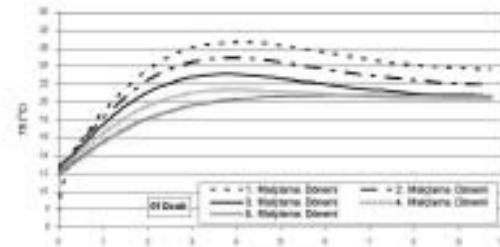
Şekil 11. 01 Nisan-30 Eylül arasında uygulanan malzeme işlemi sonucunda toprakta oluşan maksimum ve minimum sıcaklıkların günlük değişimi



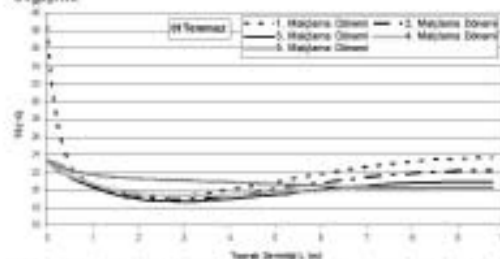
Şekil 12. 01 Mayıs-31 Ekim arasında uygulanan malzeme işlemi sonucunda oluşan maksimum ve minimum sıcaklıkların günlük değişimini

Şekillerden de görüldüğü üzere malzeme işlemini başlangıç zamanı 01 Ocaktan 01 Mayıs'a gittikçe oluşan maksimum sıcaklıkların en büyük ile oluşan minimum sıcaklıkların en küçük arasındaki fark giderek küçülmektedir.

Şekil 13 ve 14'te 01 Ocak ve 01 Temmuz için farklı zaman dilimlerinde uygulanan malzeme işlemi sonucunda toprak sıcaklığının derinlikle değişimi gösterilmiştir. TKIP uygulamaları için istirna sezonda toprak sıcaklığının yüksek, soğutma sezonda ise daha düşük olması istendiğinden, şekillerden de görüldüğü üzere malzeme işleminin 01 Ocak-30 Haziran arasında yapılması daha uygun görülmektedir.



Şekil 13. 01 Ocak için farklı zaman dilimlerinde uygulanan malzeme işlemi sonucunda toprak sıcaklığının derinlikle değişimi

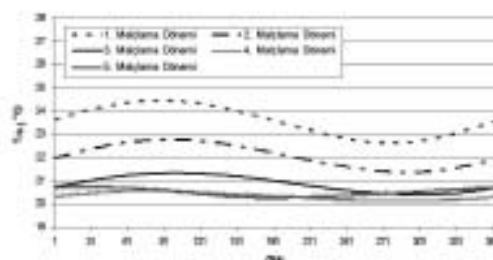


Şekil 14. 01 Temmuz için farklı zaman dilimlerinde uygulanan malzeme işlemi sonucunda toprak sıcaklığının derinlikle değişimi

Tablo 4. 01 Ocak ve 01 Temmuz uz iki toprak, maksimum, minimum ve dip sıcaklık değerleri

Malzeme Dönemi		1	2	3	4	5
01 Ocak	$T_{max}, (^{\circ}C)$	26.61	24.83	23.03	21.41	20.76
	T_{min} 'in olduğu derinlik, (m)	3.94	3.94	3.94	3.94	6.46
	$T_{dp}, (^{\circ}C)$	23.58	21.95	20.70	20.31	20.70
01 Temmuz	$T_{max}, (^{\circ}C)$	19.23	18.85	18.69	19.35	20.26
	T_{min} 'in olduğu derinlik, (m)	2.61	2.83	2.83	3.07	9.76
	$T_{dp}, (^{\circ}C)$	23.54	22.17	20.97	20.33	20.26

Şekil 15'te ise farklı zaman dilimlerinde uygulanan malzeme işlemi sonucunda $L=10$ m'deki toprak dip sıcaklıklarının günlük değişimini göstermektedir.



Şekil 15. Farklı zaman dilimlerinde uygulanan malzeme işlemi sonucunda toprak dip sıcaklığının günlük değişimini

Şekil 8-15 arasındaki toprak, maksimum, minimum ve 10 m'deki dip sıcaklık grafiklerinden 01 Ocak ve 01 Temmuz için Tablo 4'teki değerler bulunur.

Şekil 16'da farklı zaman dilimlerinde uygulanan malzeme işlemi sonucunda oluşan 01 Ocak'taki maksimum ve 01 Temmuz'daki minimum toprak sıcaklıklarının değişimi görtmektedir. Malzeme başlangıç 01 Ocaktan 01 Mayıs'a gittikçe oluşan maksimum ve minimum sıcaklıklar arasındaki fark giderek azalmaktadır.

TEŞEKKÜR

Bu çalışının TÜBİTAK tarafından "107M380" No'lu proje kapsamında desteklenmektedir. Desteklerinden dolayı TÜBİTAK'a teşekkür ederiz.

KAYNAKLAR

El-Din., M. M. S., On the heat flow in to the ground, *Renewable Energy* 18, 473 -490, 1999.

Mihalakakou, G., Santamouris, M., Lewis, J. O. and Asimakopoulos, D. N., On the application of the energy balance equation to predict ground temperature profiles, *Solar Energy* 60, 181 -190, 1997.

Mihalakakou, G., On estimating soil surface temperature profile, *Energy and Buildings* 34, 251 -259, 2002.

Ozbek A., Yılmaz T., Yılmaz A., Büyükalaca O., Çeşitli Tozak Türleri İçin Topeak Sicaklıklarının Analitik ve Numerik Olarak Hesaplanması, Ç. Ü. Mühendislik-Mimarlık Fakültesi 30. Yıl Sempozyumu, 16-17.Ekim 2008 Adana.

Piechowski, M., Heat and mass transfer model of a ground heat exchanger: Validation and sensitivity analysis, *Int. J. Energy Res.* 23, 571 -588, 1999.

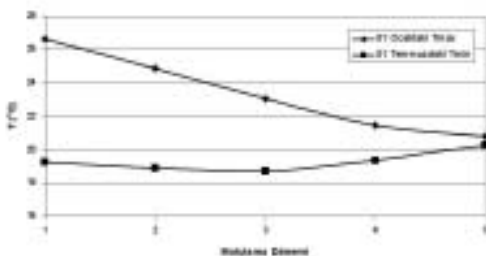
Rees, S. W., Zhou, Z. and Thomas, H. R., Ground heat transfer: A numerical simulation of a full-scale experiment, *Building and Environment* 42, 1478 -1488 2007.

Suzuki S., Anju A., Kawahara M., Management of Ground Temperature by Bang-Bang Control Based on Finite Element Application, *International Journal of Numerical Methods in Engineering* 39, 885 -901 ,1996 .

TÜBİTAK 1. Gelişme Raporu, Proje No: 107M380.

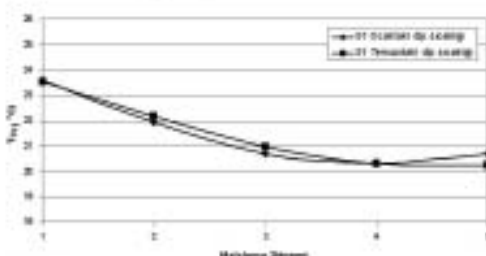
TÜBİTAK 2. Gelişme Raporu, Proje No: 107M380 .

Yılmaz T., Yılmaz A., Ozbek A., Büyükalaca O., Yer Kaynaklı İla Pompaları İçin Tozak Sicaklıklarının Belirlenmesi, *I. Soğutma Teknolojileri Sempozyumu ve Sergisi*, İzmir, 128 -136, 2008.



Şekil 16. Farklı zaman dilimlerinde uygulanan malzeme işlemi sonucunda 01 Ocak ve 01 Temmuzda oluşan maksimum ve minimum tozak sicaklıklarının değişimi

Şekil 17'de ise farklı malzeme dönemlerinde 01 Ocak ve 01 Temmuz için elde edilen 10 m'deki dip sicaklıklarının değişimi görülmektedir.



Şekil 17. Farklı zaman dilimlerinde uygulanan malzeme işlemi sonucunda 01 Ocak ve 01 Temmuzda oluşan tozak dip sicaklıklarının değişimi

Bu çalışmada malzeme işlemede malzeme döneminin değiştirmenin tozak yüzey ve tozak sicaklıklarını önemli ölçüde etkilediği anlaşılmaktadır. Ancak belirli bir malzeme döneminde dip sicaklıklarının yılın çeşitli günlerindeki değerleri tek katmanlı topraktan da baktığımız gibi pek değişmemektedir. Tozak yüzey değişimünün belirli zaman aralıklarında sunu olarak değiştirilemeyeyle kontrol edilebilecek tozak sicaklıklarının, TKIP uygulamaları için yararlı olabileceğini görmekteyiz.